

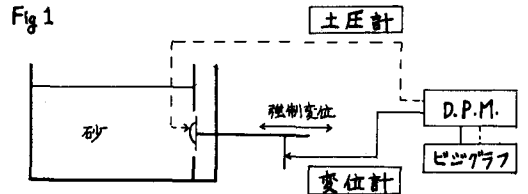
東京工業大学 正員 吉田 裕
東京工業大学 学生員 ○村田 修

I. はじめに

構造物の耐震設計において、構造物基礎の復元力特性を数式表現しておく事は、重要な問題である。このような方向の研究は数多く行なわれているが、ここでは、砂箱で、変位-土圧関係を動的に測定した結果に基づいて、なるべく現象を忠実に表現しようとする立場から、復元力特性の数式表現を試みたものである。未だ、試案の段階で、実際問題への適用に対しては、改良すべき点も残されているが、ここでは、モデル化の考えたと、その結果について報告する。

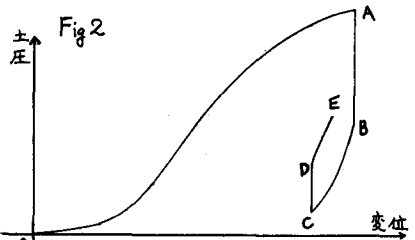
II. 実験の概要

標準砂(乾燥)を模型砂箱に詰める。くい基礎の片面を想定した可動壁面を強制変位させて、壁面に取り付けた土圧計で土圧を測定し、変位土圧関係を調べた。(測定結果の一例を計算結果とともにFig 6 に示す。)



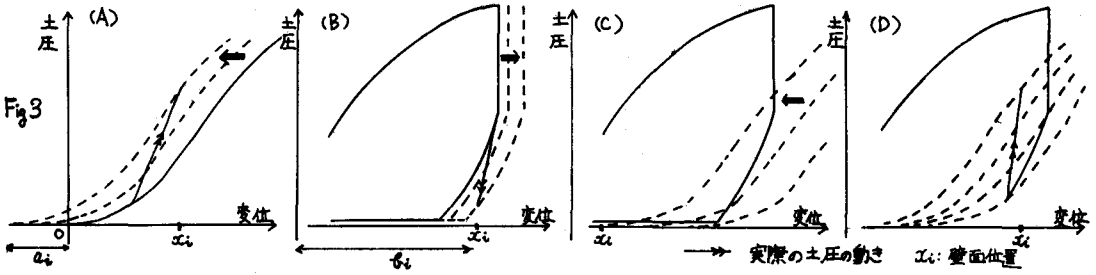
III. モデル化の概要

上記実験の結果を参照しながら、以下のようなモデル化を考えた。振幅の各段階を 静止状態 \rightarrow 圧縮過程 \rightarrow 戻す過程 \rightarrow 再圧縮過程 に分けて考える。(Fig 2)



〔*以下「状態」とは、粒子の詰り方、からみ合いの状況など土圧に影響を与える壁面付近の地盤(理想化された乾燥砂での)の状態をさす。〕

- (1) 圧縮過程： 「状態」の変化が間に合うような遅い速度で圧縮した場合、静止位置からの変位量により、「状態」が表わされ、土圧が定まると考える。この場合の変位-土圧曲線は、その地盤を構成する材料、周囲の状況に特有な曲線と考えられ、それを「標準曲線」と呼ぶ。圧縮する速度が大きい時は、それよりも遅い速度で圧縮した場合の、より大きい変位量での「状態」に等しく、速度が小さくなった時は、その変位量によって決る「状態」に戻っていくと考える。そこで、上記の「標準曲線」を刻々の変位速度の状況により、変位-土圧座標面(以下、座標面)で移動させる事により、圧縮過程での土圧の動きを表現する。(Fig 3-(A))
 - (2) 戻す過程： 圧縮過程から戻す過程へ移行した場合、瞬間的に土圧がゼロとなり、その後(かなり短い時間で)、「状態」が回復してくると考える。戻す過程では、戻す速度が極めて遅くとも、ある限度以上には、「状態」は回復しないと考え、その変位-土圧曲線を「限界曲線」と呼ぶ。土圧が、静止状態での土圧(以下、 R_0)以上の場合、上記の「限界曲線」を戻す速度の状況により、座標面で移動させて、戻す過程での「状態」の回復度、すなわち土圧を表現する。(Fig 3-(B)) R_0 以下の土圧となった場合は、「状態」は R_0 の土圧を示すように回復してくると考える。これは、「標準曲線」を座標面で移動させる事により表現する。(Fig 3-(C))
 - (3) 再圧縮過程： 戻す過程から再圧縮過程へ移行した場合は、「状態」が回復しつつある時に圧縮する事になる。再圧縮する時の土圧が、 R_0 以下の場合、戻す過程での延長で、 R_0 になるまで「状態」が回復すると考える。 R_0 以上の場合、圧縮過程で考えた速度の変化による「標準曲線」の移動の他に、「状態」の回復を考慮する事によって、再圧縮過程での土圧の動きを表現する。(Fig 3-(D))
- 以上のモデルで計算するために、標準曲線、限界曲線を関数で表わし、移動のシステムを数式表現する。



変位を時間の関数として与え、微小時間刻みでstepに分け、各stepでの土圧を求める事ができる。

○標準曲線を表わす関数

$$F_n(x) = \frac{1}{\Gamma(n)} \int_0^x x^{n-1} e^{-x} dx$$

みを変位に、 $F_n(x)$ を土圧に対応させる。
最大土圧 R_Y 、及びその80%の土圧に対応する変位量 X_Y で無次元表示する。

$$R = R_Y = F_{n_2} [X_0 (X/X_Y + X_1/X_0)]$$

($X_1: F_{n_2}(X_1) = R_0, X_2: F_{n_2}(X_2) = 0.8, X_0 = X_2 - X_1$)
*これを $R = R_2(x - a_0, m_2)$ と表わす。

* a_i : グラフ移動量 (Fig 3-(A))

○限界曲線を表わす関数

戻り位置の変位 $X_A = X/X_Y$, 土圧 $R_A = R/R_Y$

$$X_3: F_{n_2} [X_0' (X/X_Y) + R_0] = P R_A$$

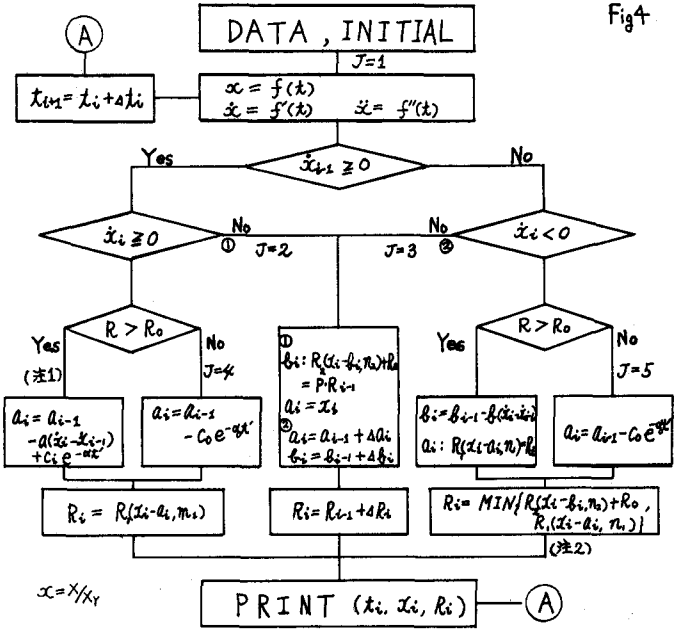
($0 \leq P \leq 1, X_0' = \delta \cdot X_0 (0 \leq \delta \leq 1)$)

$$R = R_Y = F_{n_2} [X_0' (X/X_Y - (X_A - X_0/X_Y))] + R_0$$

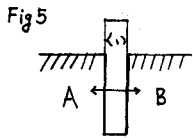
*これを $R = R_2(x - b_0, m_2)$ と表わす。

* b_i : グラフ移動量 (Fig 3-(B))

(注1: If $J=1, a_i=0$ 注2: If $J=5$ and $R_i > R_0, R_i \rightarrow R_0, a_i \rightarrow R_i(x_i - a_i, m_1) = R_0$)



実際にくいに働く力は、右図でのA側、B側の両方の影響を重ね合わせたものと考えられる。そこで上述の片側の変位-土圧関係のモデルを両側に重ね合わせる事により、任意の振幅状況における復元力を計算する事が可能である。



IV. 計算例

計算の一例を示す。

定常正弦波での、モデル計算値と、実験値の比較 (Fig 6)

漸増振幅波での、両側に重ね合わせたモデルの計算値 (Fig 7)

$$\begin{cases} m_1=12 & P=0.5 & a=0.01 & C_0=6 & C_1=0.5+0.5 \times R_i \\ m_2=16 & \delta=2 & b=0.01 & \alpha=1 & \alpha=2 \end{cases}$$

参考文献 (1) 伯野元也他: 模型基礎の復元力特性に関する実験的考察, 土木学会論文報告集 (1972.4)

(2) 後藤尚男他: 新築中にある構造物基礎の水平復元力特性に関する実験的考察, (1971.10)

